

Numero di matricola

—	—	$= 10\alpha - 1$	$= 10\beta - 1$	$= 10\gamma - 1$	$= 10\delta - 1$
---	---	------------------	-----------------	------------------	------------------

Si consideri il modello monotraccia di autoveicolo con pneumatici rilassati riportato in fig. 1. Si indichino con  $u$  e  $v$  le componenti longitudinale e laterale della velocità del baricentro e con  $r$  la velocità di rotazione (o di ‘imbardata’) del veicolo. Il veicolo può essere considerato, in prima approssimazione, dotato di moto piano.

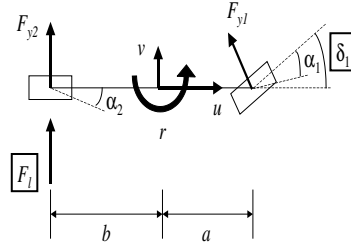


Figure 1: Modello monotraccia di autoveicolo

Nel caso in cui sul veicolo agisca una forza esterna laterale  $F_l$ , dovuta al vento e applicata in corrispondenza dell’assale posteriore, il modello può essere descritto in base alle seguenti equazioni

$$\begin{cases} m(\dot{v} + ur) &= F_{y1} + F_{y2} + F_l, \\ J\dot{r} &= F_{y1}a - F_{y2}b - F_lb, \end{cases}$$

con pneumatici rilassati descritti dalle equazioni

$$\frac{d}{u}\dot{F}_{y1} + F_{y1} = C_1\alpha_1, \quad \frac{d}{u}\dot{F}_{y2} + F_{y2} = C_2\alpha_2,$$

ed angoli di deriva  $\alpha_1$  e  $\alpha_2$  legati all’angolo di sterzo anteriore  $\delta_1$  in base alle relazioni lineari

$$\alpha_1 = \delta_1 - \frac{v + ra}{u}, \quad \alpha_2 = -\frac{v - rb}{u}.$$

Sia  $m = 1200 + \frac{\alpha}{10}$  kg la massa del veicolo,  $J = 1680 + \frac{\beta}{10}$  kgm<sup>2</sup> il suo momento di inerzia rispetto al baricentro,  $a = 1.2$  m e  $b = 1.4$  m i semipassi anteriore e posteriore,  $C_1 = C_2 = 100000 + \frac{\gamma}{10}$   $\frac{N}{rad}$  le rigidzze di deriva dell’assale anteriore e dell’assale posteriore,  $d = 0.25$  m la lunghezza di rilassamento dei pneumatici. La velocità longitudinale  $u$  è supposta costante e pari a  $20 + \frac{\delta}{10}$   $\frac{m}{s}$ . Il veicolo è dotato di un sistema di guida automatica che, agendo sull’angolo di sterzo anteriore  $\delta_1$ , permette l’inseguimento di riferimenti di velocità di imbardata  $r$ .

- A** Si determini una rappresentazione in forma di stato del sistema, considerando come ingressi l’angolo di sterzo anteriore  $\delta_1$  e la forza laterale  $F_l$ , e come uscita la velocità di imbardata  $r$ .
- B** Si determinino le funzioni di trasferimento che legano l’uscita  $r$  ai due ingressi  $\delta_1$  e  $F_l$  rispettivamente.
- C** Si descriva l’effetto a regime sulla velocità di imbardata  $r$  di un angolo di sterzo sinusoidale  $\delta_1(t) = \bar{\delta}_1 \sin t$ , quando la forza laterale dovuta al vento sia costante e pari a  $F_l = \bar{F}_l$ .
- D** Si consideri il progetto di un controllore in retroazione che utilizzi la misura della velocità di imbardata  $r$  e il controllo dell’angolo di sterzo anteriore  $\delta_1$  in modo da soddisfare le specifiche riportate nel seguito. Si descriva nel dettaglio la procedura di progetto, commentando i passaggi effettuati; si riportino i diagrammi di Bode utilizzati e l’espressione analitica del controllore ricavato.

- D1 Se la forza laterale dovuta al vento  $F_l$  è nulla, il controllore deve garantire, a regime, errori nulli nell’inseguimento di riferimenti di velocità di imbardata a gradino e a rampa.
- D2 Sempre considerando  $F_l(t) = 0$ , il tempo di assestamento  $T_a$  deve essere minore o uguale a 3 secondi e la massima sovraelongazione minore o uguale al 30%.
- D3 Sempre considerando  $F_l(t) = 0$ , deve essere garantita un’attenuazione di un fattore  $10^5$  delle componenti del rumore di misura sulla velocità di imbardata  $r$  con frequenze pari o superiori a 100 Hz.
- D4 Nel caso in cui sul veicolo agisca una forza laterale  $F_l$  sinusoidale con frequenza pari o inferiore a 0.05 Hz, il controllore deve garantire l’attenuazione di un fattore  $10^5$  delle componenti in uscita dovute a questo disturbo.

## Soluzione

**A** Sostituendo le espressioni degli angoli di deriva  $\alpha_1$  e  $\alpha_2$  nelle equazioni differenziali che descrivono il comportamento dei pneumatici, si ottiene la rappresentazione in forma di stato del sistema

$$\begin{aligned}\dot{x} &= Ax + Bu, \\ y &= Cx + Du,\end{aligned}$$

con  $x = [v \ r \ F_{y1} \ F_{y2}]^T$ ,  $u = [\delta_1 \ F_l]^T$  e  $y = r$ . Le matrici  $A$ ,  $B$ ,  $C$ ,  $D$  risultano:

$$A = \begin{bmatrix} 0 & -u & \frac{1}{m} & \frac{1}{m} \\ 0 & 0 & \frac{a}{J} & -\frac{b}{J} \\ -\frac{C_1}{d} & -\frac{C_1 a}{d} & -\frac{u}{d} & 0 \\ -\frac{C_2}{d} & \frac{C_2 b}{d} & 0 & -\frac{u}{d} \end{bmatrix},$$

$$B = [B_\delta \ | \ B_F] = \begin{bmatrix} 0 & \frac{1}{m} \\ 0 & -\frac{b}{J} \\ \frac{C_1 u}{d} & 0 \\ 0 & 0 \end{bmatrix},$$

$$C = [0 \ 1 \ 0 \ 0],$$

$$D = [0 \ 0]$$

**B** L-trasformando le equazioni del moto, si ottengono le seguenti funzioni di trasferimento tra l'uscita  $r$  e i due ingressi  $\delta_1$  e  $F_l$ :

$$G_\delta(s) = \frac{madC_1us^2 + maC_1u^2s + C_1C_2u(a+b)}{p_4s^4 + p_3s^3 + p_2s^2 + p_1s + p_0},$$

$$G_F(s) = -\frac{(ds+u)[mbds^2 + mbus + C_1(a+b)]}{p_4s^4 + p_3s^3 + p_2s^2 + p_1s + p_0},$$

dove i coefficienti del polinomio a denominatore delle due f.d.t. valgono

$$\begin{aligned}p_4 &= Jmd^2, \\ p_3 &= 2dJmu, \\ p_2 &= dJ(C_1 + C_2) + md(C_1a^2 + C_2b^2) + Jmu^2, \\ p_1 &= Ju(C_1 + C_2) + mu(C_1a^2 + C_2b^2) + dm u(C_2b - C_1a), \\ p_0 &= C_1C_2(a+b)^2 + mu^2(C_2b - C_1a).\end{aligned}$$

Nel caso  $\alpha = \beta = \gamma = \delta = 0$ , sostituendo i valori numerici ai vari parametri si ottiene:

$$G_\delta(s) = \frac{5714s^2 + 4.571 \cdot 10^5 s + 4.127 \cdot 10^6}{s^4 + 160s^3 + 7876s^2 + 1.19 \cdot 10^5 s + 6.127 \cdot 10^5},$$

$$G_F(s) = \frac{-0.0008333s^3 - 0.1333s^2 - 5.849s - 41.27}{s^4 + 160s^3 + 7876s^2 + 1.19 \cdot 10^5 s + 6.127 \cdot 10^5}.$$

I poli delle due f.d.t. sono in  $-69.5040 \pm 0.7159i$  e  $-10.4960 \pm 4.0807i$ :  $G_\delta$  e  $G_F$  sono quindi asintoticamente stabili in anello aperto. I relativi diagrammi di Bode vengono riportati in fig. 2 e 3.

**C** Per determinare l'effetto combinato che, a regime, hanno un angolo di sterzo  $\delta_1$  sinusoidale e una forza laterale  $F_l$  costante, agenti contemporaneamente, è possibile applicare il principio di sovrapposizione degli effetti, valido in campo lineare. In base a questo principio, è possibile calcolare l'effetto che a regime avrebbero i due ingressi se agissero uno alla volta, e sommare semplicemente i due effetti così ottenuti. Per determinare la risposta a regime corrispondente ad un ingresso  $\delta_1(t) = \bar{\delta}_1 \sin(t)$  è sufficiente applicare il teorema della risposta armonica alla f.d.t. asintoticamente stabile  $G_\delta(s)$ .

L'espressione risultante, considerando il fattore di amplificazione  $\bar{\delta}_1$  e la pulsazione  $\bar{\omega} = 1 \frac{\text{rad}}{\text{s}}$  è quindi:

$$y_{\text{r}}(t) = \bar{\delta}_1 |G_{\delta}(j\bar{\omega})| \sin(\bar{\omega}t + \arg(G_{\delta}(j\bar{\omega}))) = 6.7271\bar{\delta}_1 \sin(t - 0.0836).$$

Per determinare, invece, l'effetto a regime che una forza laterale  $F_l$  a gradino di ampiezza  $\bar{F}_l$  causa sull'uscita, considerando identicamente nullo l'angolo di sterzo anteriore  $\delta_1$ , basta applicare il teorema del valore finale:

$$\lim_{t \rightarrow \infty} y(t) = \lim_{s \rightarrow 0} sY(s) = \lim_{s \rightarrow 0} sG_F(s) \frac{\bar{F}_l}{s} = \lim_{s \rightarrow 0} G_F(s) \bar{F}_l = -\bar{F}_l u C_1(a+b)/p_0 = -\bar{F}_l 6.7358 \cdot 10^{-5}.$$

Sfruttando il principio di sovrapposizione degli effetti, nel caso in cui i due ingressi agiscano contemporaneamente la risposta del sistema a regime è la somma delle due risposte precedentemente calcolate.

**D** Lo schema di controllo da realizzare è riportato in fig. 4. Poiché il sistema da controllare  $G_{\delta}(s)$  è asintoticamente stabile in anello aperto, è possibile procedere al progetto del controllore direttamente in base ai diagrammi di Bode della f.d.t. di anello  $C(s)G_{\delta}(s)$ . Si faccia quindi riferimento ad un controllore del tipo  $C(s) = \frac{K}{s^t} C_0(s)$ , con  $C_0(0) = 1$ .

- D1) La funzione di trasferimento  $G_{\delta}(s)$  non ha poli nell'origine. Quindi per avere, a regime, errore nullo nell'inseguimento di riferimenti a gradino ed a rampa, è necessario che il controllore abbia due poli nell'origine. Il tipo  $t$  del controllore risulta quindi  $t = 2$ . I diagrammi di Bode della funzione di trasferimento di anello  $C(s)G_{\delta}(s)$ , con  $C(s) = \frac{1}{s^2}$ , vengono riportati in fig. 5.
- D2) Poiché la massima sovraelongazione ammissibile nella risposta al gradino è del 30%, è possibile approssimare il sistema in anello chiuso ad un sistema del secondo ordine, ed utilizzare quindi un'approssimazione a due poli dominanti. Per un sistema del secondo ordine, la relazione che lega la sovraelongazione allo smorzamento dei poli è  $S = e^{-\frac{\pi\bar{\delta}}{\sqrt{1-\bar{\delta}^2}}}$ . Nota la massima sovraelongazione ammissibile, è possibile ricavare lo smorzamento minimo  $\bar{\delta}$ ; nel caso specifico, si trova  $\bar{\delta} = 0.3579$ . Il minimo margine di fase ammissibile vale quindi  $\bar{M}_f \simeq 36$  gradi. Per soddisfare la specifica sul tempo di assestamento, è necessario a questo punto utilizzare la relazione  $\omega_T \geq \frac{3}{T_a \bar{\delta}} = 2.79 \frac{\text{rad}}{\text{s}}$ . Il diagramma dell'ampiezza della funzione di trasferimento  $C(s)G_{\delta}(s)$  deve quindi attraversare l'asse a zero  $db$  per pulsazioni maggiori di  $2.79 \frac{\text{rad}}{\text{s}}$ . Dai diagrammi di Bode riportati in fig. 5, si deduce che, per soddisfare queste specifiche, è necessario inserire uno o più zeri a bassa frequenza e abbassare il guadagno della f.d.t. di anello  $C(s)G_{\delta}(s)$ . Inserendo, ad esempio, uno zero in  $-0.5$  e abbassando il guadagno a  $0.7$ , si ottiene un margine di fase di  $46.8$  gradi e una pulsazione di taglio di  $8.3 \frac{\text{rad}}{\text{s}}$ . I diagrammi di Bode della funzione di trasferimento di anello  $C(s)G_{\delta}(s)$  relativi al controllore  $C(s) = 0.7 \frac{2s+1}{s^2}$  vengono riportati in fig. 6.
- D3) La funzione di trasferimento tra l'uscita  $y$  e il rumore di misura  $\nu$  è:

$$Y(s) = -\frac{C(s)G_{\delta}(s)}{1 + C(s)G_{\delta}(s)} \nu(s).$$

Per soddisfare la specifica di reiezione del disturbo di misura, è necessario soddisfare la relazione:

$$\left| \frac{C(j\omega)G_{\delta}(j\omega)}{1 + C(j\omega)G_{\delta}(j\omega)} \right| < \frac{1}{10^5} = -100db.$$

Poiché nel campo di frequenze di interesse vale  $|C(j\omega)G_{\delta}(j\omega)| \ll 1$ , la relazione da soddisfare risulta, in prima approssimazione:

$$|C(j\omega)G_{\delta}(j\omega)|_{db} < -100db,$$

per  $\omega > 628 \frac{\text{rad}}{\text{s}}$ . Questa specifica può essere verificata inserendo un polo in alta frequenza, ad esempio in  $-100$ . I diagrammi di Bode della funzione di trasferimento di anello  $C(s)G_{\delta}(s)$ , con  $C(s) = 0.7 \frac{2s+1}{s^2(0.01s+1)}$ , vengono riportati in fig. 7.

- D4) La funzione di trasferimento tra l'uscita  $y$  e la forza di disturbo  $F_l$  è:

$$Y(s) = \frac{G_F(s)}{1 + C(s)G_{\delta}(s)} F_l(s).$$

Per soddisfare la specifica di reiezione del disturbo  $F_l$ , è necessario soddisfare la relazione (per  $\omega \leq 0.31 \frac{\text{rad}}{\text{s}}$ ):

$$\left| \frac{G_F(j\omega)}{1 + C(j\omega)G_\delta(j\omega)} \right| < \frac{1}{10^5}.$$

Poiché nel campo di frequenze di interesse vale  $|C(j\omega)G_\delta(j\omega)| \gg 1$ , la relazione da soddisfare risulta, in prima approssimazione:

$$|C(j\omega)G_\delta(j\omega)|_{db} > 100db + |G_F(j\omega)|_{db} = 16.5db.$$

Come si osserva in fig. 7, la specifica risulta già soddisfatta.

In fig. 8 viene riportata la risposta del sistema in anello chiuso al gradino unitario nel caso  $F_l = 0$ .

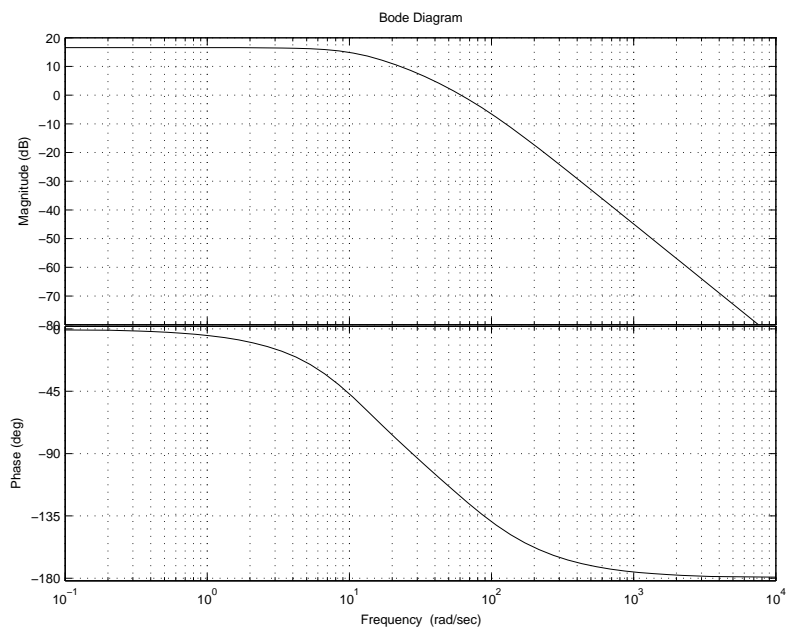


Figure 2: Diagrammi di Bode della f.d.t.  $G_{\delta}(s)$ .

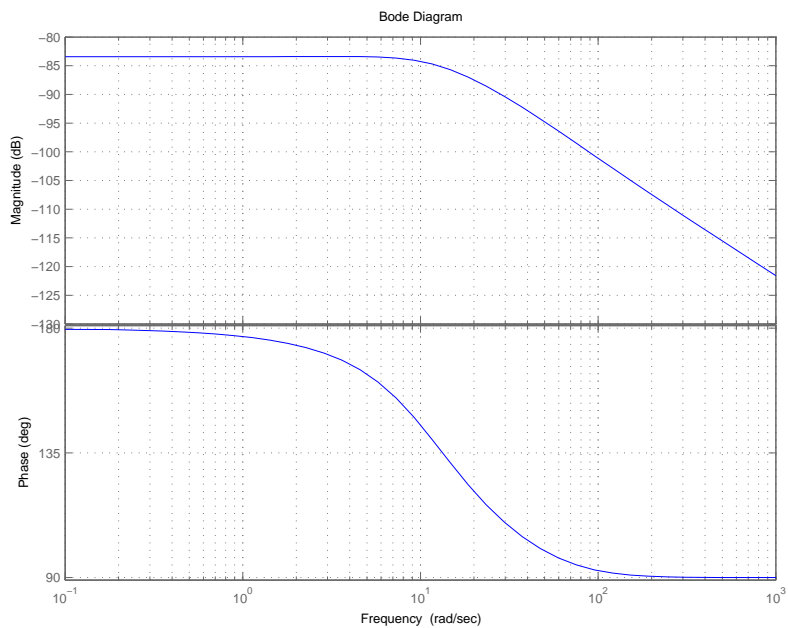


Figure 3: Diagrammi di Bode della f.d.t.  $G_F(s)$ .

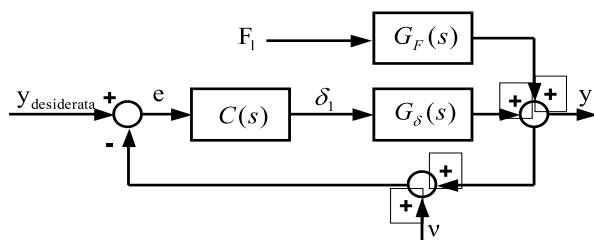


Figure 4: Schema del sistema di controllo da realizzare.

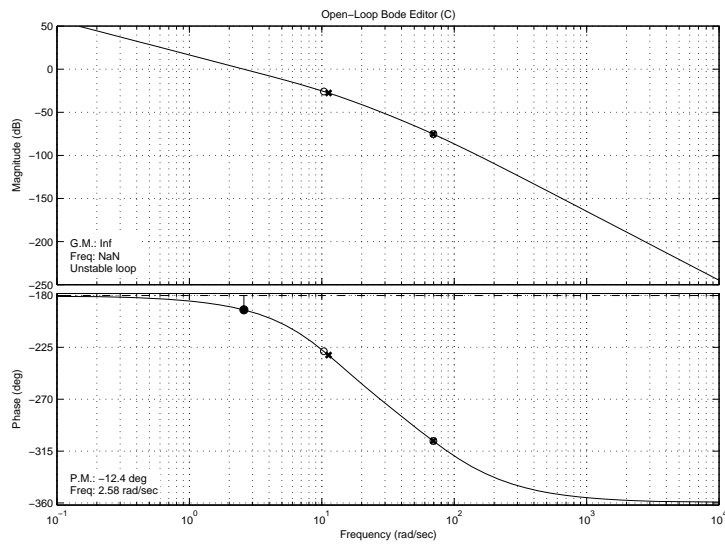


Figure 5: Diagrammi di Bode della funzione di trasferimento di anello  $C(s)G_\delta(s)$ , con  $C(s) = \frac{1}{s^2}$ .

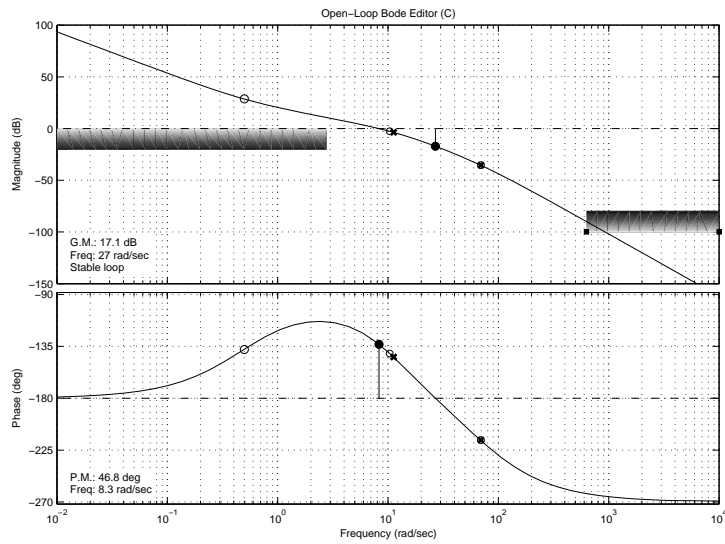


Figure 6: Diagrammi di Bode della funzione di trasferimento di anello  $C(s)G_\delta(s)$ , con  $C(s) = 0.7 \frac{2s+1}{s^2}$ .

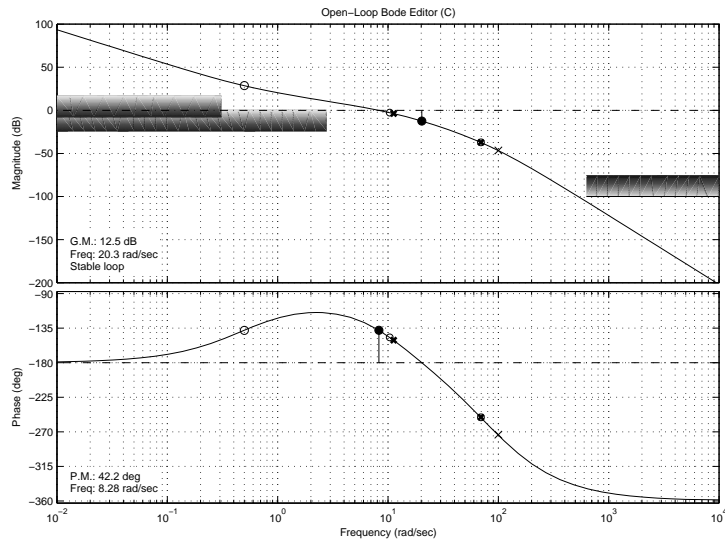


Figure 7: Diagrammi di Bode della funzione di trasferimento di anello  $C(s)G_\delta(s)$ , con  $C(s) = 0.7 \frac{2s+1}{s^2(0.01s+1)}$ .

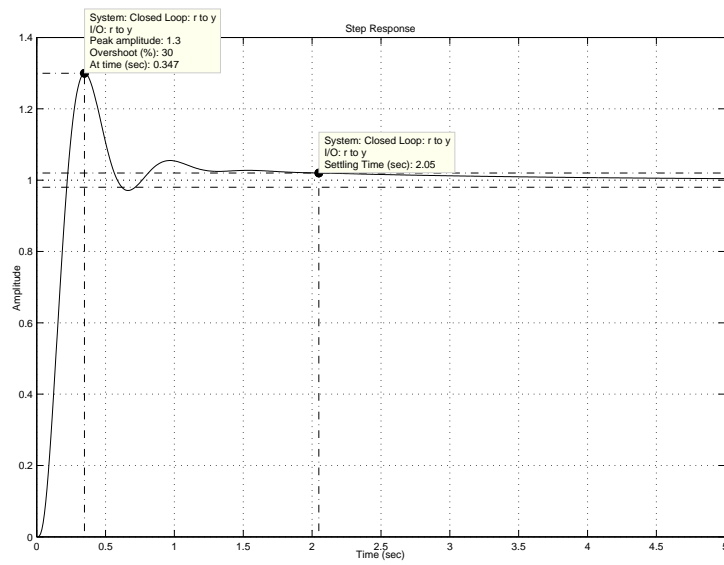


Figure 8: Risposta del sistema in anello chiuso al gradino unitario nel caso  $F_l = 0$ .